

بیواستراتیگرافی قاعده سازند دالان در مقطع چالیشه، زاگرس مرتفع

سکینه عارفی‌فرد

دانشگاه لرستان، دانشکده علوم، گروه زمین‌شناسی

sarefi@hotmail.com

دریافت: ۹۱/۹/۲۸ پذیرش: ۹۲/۵/۲۷

چکیده

بخش زیرین سازند دالان در مقطع چالیشه در زاگرس مرتفع از نظر ترکیب فونای فرامینی فر بررسی و مطالعه شد. این بخش در پایین‌ترین قسمت دارای تنایی از ماسه‌سنگ و آهک است که به سمت بالا عمده‌ترین کربناته می‌شود. این سنگ‌آهک‌ها شامل تعداد محدودی فرامینی‌فر و فوزولینیدهای کوچک هستند که سنی قیمتی تر از گوادالوپین را نشان نمی‌دهند. به نظر می‌رسد در مقایسه با رسوبات قاعده‌ای سازند دالان در مقطع ایل‌بیک در ناحیه زردکوه که سن کوبرنگین را نشان می‌دهند احتمالاً پیشروی دریای پرمین در مقطع چالیشه با کمی تاخیر نسبت به مقطع ایل‌بیک شروع شده است. هر چند که تغییرات سنگ‌شناسی در قاعده سازند دالان در مقطع چالیشه به صورت تدریجی می‌باشد ولی عدم وجود فرامینی‌فرهای شاخص به سن کوبرنگین در قاعده سازند دالان در مقطع چالیشه نشان دهنده یک نبود چینه‌ای وسیع‌تر در قاعده سازند دالان در مقطع چالیشه نسبت به مقطع ایل‌بیک در ناحیه زردکوه است.

واژه‌های کلیدی: بیواستراتیگرافی، سازند دالان، مقطع چالیشه، زاگرس مرتفع

مقدمه

ماسه‌سنگ و کنکلومرا است. مرز زیرین این واحد در کوهه دنا و کوه گره با سنگ‌آهک و شیل‌هایی به سن کامبرین میانی و بالایی و در زردکوه با شیل‌های اردوبیسین سازند زردکوه [۳۳] و در کوه چالیشه با شیل و ماسه‌سنگ‌های اردوبیسین سازند ایل‌بیک [۱۷] به صورت ناهمشیب است. کن tact با لایه‌ای این سازند با کربنات‌های سازند دالان در مقاطع فراقون، زردکوه و چالیشه به صورت تدریجی با میان لایه‌های ماسه‌سنگی در نظر گرفته شده است [۳۳، ۳۸ و ۱۷] مقاطع این سازند هم در زاگرس مرتفع و هم در زاگرس چین خورده دیده می‌شود. بقایای گیاهی یافت شده از سازند فراقون توسط هریسون و همکاران [۲۰] در مقطع چالیشه تحت عنوان Sigillaria persica توسط سوارد [۳۴] معرفی شد. وی بر اساس این فسیل گیاهی سن سازند فراقون را جوان‌تر از وستفالین و در حقیقت پرمین زیرین در نظر گرفت. سن این سازند از آنجایی که فاقد فونای دریابی است بحث برانگیز بوده است. قویدل سیوکی [۱۸] بر اساس تحقیقات پالینولوژیکی قسمت اعظم سازند فراقون در مقطع چالیشه را به عنوان سازند زکین به سن دونین و بالاترین بخش این سازند را بنام سازند چالیشه به سن پرمین زیرین معرفی کرد. بنابراید

ناحیه زاگرس در جنوب‌غرب ایران به عنوان یکی از نواحی اصلی تولید کننده نفت و گاز جهان در خاورمیانه مورد توجه بسیار بوده است. مطالعات گسترده زیادی بر روی سکانس‌های کربنیفر و پرمین در منطقه زاگرس به طور ویژه در ارتباط با زمین‌شناسی عمومی، زمین‌شناسی نفت، رسوب‌شناسی و تکتونیک انجام شده است [۲۴، ۲۵، ۲۶، ۳۲، ۳۳، ۴، ۵، ۶، ۷، ۱۲ و ۳۹]. اما مطالعات بیواستراتیگرافی و کرونواستراتیگرافی بر روی رسوبات پرمین در این منطقه هنوز کاملاً ضعیف باقی‌مانده است و این در حالی است که برای بازسازی‌های پالئوژوگرافی هم بررسی‌های کرونواستراتیگرافی و هم مطالعات بیواستراتیگرافی کاملاً ضروری است. سکانس چینه‌شناسی کامبرین تا کواتررن در مقطع چالیشه اولین بار توسط هریسون و همکاران [۲۰] در طی یک ماموریت زمین‌شناسی مورد پیمایش قرار گرفت. این سکانس مجددًا توسط زابو [۳۷] بررسی شد و نام گذاری جدیدی برای تشکیلات پالئوزوئیک در حوضه زاگرس ارائه شد. سکانس پالئوزوئیک در کوه چالیشه به سازندهای میلا، ایل‌بیک و فراقون تقسیم شده است. سازند فراقون شامل شیل‌های قرمز و خاکستری با میان لایه‌هایی از

ترکیه در شمال غرب قرار گرفته است [۸]. ۳۴ درصد کل مخازن نفت و گاز دنیا به طور غالب در کمربند چین خورده‌رانده زاگرس یا در بخش جلوی آن قرار دارد. این تجمعات هیدرولوکوبوری در خاورمیانه به طور شگفت‌انگیزی مربوط به تکامل چینه‌شناسی و ساختاری کمربند چین خورده‌رانده زاگرس است [۷] مقطع مورد مطالعه در داخل کمربند بلند زاگرس (در بخش خارجی کمربند چین خورده‌رانده زاگرس) (شکل ۱) در طول ۳۲° جغرافیایی' ۴۹° ۳۰' و عرض جغرافیایی' ۵۵° شمالی و در ارتفاع ۲۶۲۴ متری واقع شده است. زاگرس مرتفع به وسیله پیدایش یا حضور گسل‌های راندگی اصلی [۱۳] مشخص می‌شود. در منطقه انتخاب شده برای این مطالعه نیز راندگی و گسلش طبقات به فراوانی مشاهده می‌شود به طوری که تاثیر این فعالیت‌های تکتونیکی شدید باعث بهم خوردن نظم چینه‌شناسی طبقات به ویژه در سازند دالان در بخش‌های میانی و بالایی شده است.

چینه‌شناسی مقطع مطالعه شده

برش چالیشه در گوشه شمال‌غربی نقشه ۱/۲۵۰۰۰ شهرکرد و در ۱۵۰ کیلومتری جنوب‌غرب الیگودرز واقع شده است. امتداد عمومی طبقات N45°E و شب عمومی طبقات 20NW تا 25NW است. کل ضخامت برش (آن بخش از سازند دالان که قابل نمونه‌برداری بود) ۶۴ متر است. مرز زیرین این سازند با سازند فراقون به لحاظ تغییرات سنگ‌شناسی تدریجی است.

مشخصات سنگ‌شناسی این برش از قاعده به راس به شرح ذیل است:

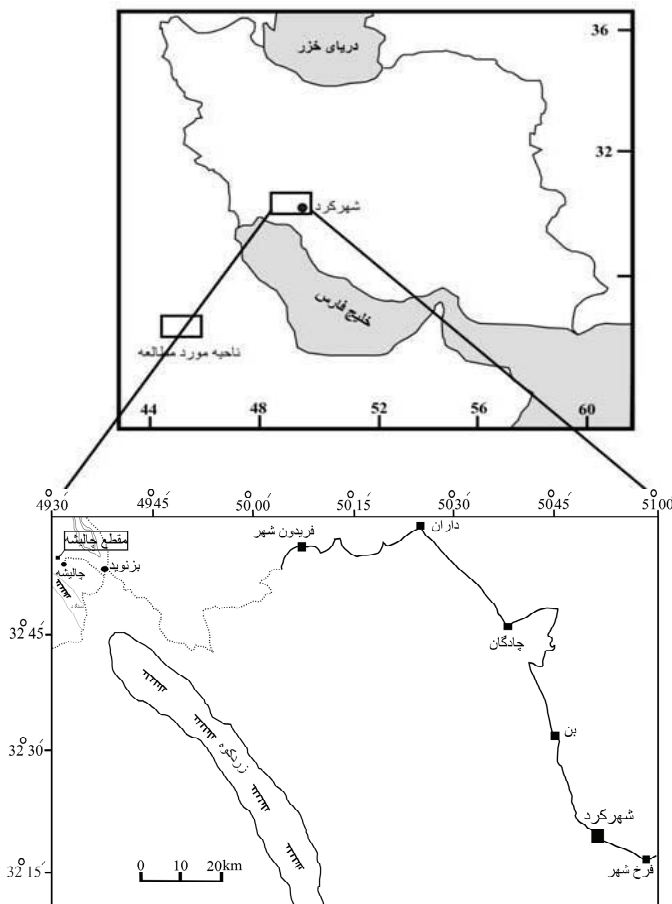
- ۱- ۳ متر ماسه‌سنگ کوارتزی ریز دانه قرمز تا خاکستری متوسط لایه. واحد ۱ متعلق به سازند فراقون است.
- ۲- ۶ متر سنگ آهک ماسه‌ای خاکستری روش متوسط لایه حاوی کرینوئید و خرده‌های برآکیوپود.
- ۳- ۴/۵ متر پکستون دولومیتی خاکستری تا خاکستری تیره متوسط لایه حاوی قطعات بریوزوئر، برآکیوپود، ساقه کرینوئید، گاستروپود، جلبک sp. (Permocalculus sp., Gymnocodium sp., Vermiporella sp., Tubiphyses sp., Neoendothyra broennimann Bozorgnia) ۵- ۵ متر واریزه

ایشان چینه‌های کربنیفر ظاهرا در حوضه زاگرس وجود ندارند. به نظر می‌رسد هم‌چنین سن کربنیفر-پرمین [۳۳] و پرمین زیرین [۳۸ و ۱۷] برای این سازند پیشنهاد شده است. به نظر می‌رسد مقاطع سازند فراقون در زاگرس غربی به طرف قالی کوه و هم‌چنین جنوب‌شرق زاگرس در کوه فراقون جائی که سازند دالان دارای بین لایه‌های آهکی است نواحی اميدوارکننده‌ای و قابل اعتماد برای تعیین سن سازند فراقون باشند [۱۰]. سازند دالان یک سکانس کاملاً دریایی است و شامل سنگ‌های کربناته و تبخیری است. ضخامت و لیتلولوژی سازند دالان در زاگرس مرتفع (زردکوه، کوه گره، کوه دنا و چالیشه) نسبتاً مختلف است. در مقایسه با مقاطع فراقون و سورمه در زاگرس چین خورده در جنوب شرق زاگرس، ضخامت سازند دالان در زردکوه تبخیری به بیش از ۹۰۰ متر می‌رسد و شامل واحد سنگ‌آهک پایینی و واحد دولومیت بالایی است. در کوه دنا این ضخامت تا ۳۰۰ متر کاهش می‌یابد و شامل واحد آهکی زیرین، واحد ماسه‌سنگی میانی و واحد دولومیتی بالایی است. در زاگرس چین خورده رخمنون‌های سازند دالان متشکل از واحد کربناته زیرین، واحد تبخیری نار و واحد کربناته بالایی است. واحد نار از سازند دالان در رخمنون‌های غربی زاگرس وجود ندارد. در مقطع ایل‌بیک مرز زیرین سازند دالان با سازند فراقون کاملاً پوشیده است ولی در مقطع چالیشه این مرز به صورت تناوب لایه‌های آهکی و ماسه‌سنگی است که بررسی دقیق‌تر بخش زیرین سازند دالان را امکان‌پذیر می‌سازد. سازند دالان در مقطع چالیشه در بخش‌های میانی و بالایی کاملاً گسله و به هم ریخته است و بنابراین تنها امکان نمونه‌برداری از قسمت زیرین این سازند محدود می‌باشد. هدف اصلی این مطالعه بایوستراتیگرافی و کرونواستراتیگرافی دقیق‌تر بخش زیرین سازند دالان در زاگرس مرتفع در مقطع چالیشه بر اساس فونای فرامینیفری و مقایسه آن با نواحی مجاور در ایران و کشورهای همجوار است.

موقعیت زمین‌شناسی

کوههای زاگرس با روند شمال‌غرب-جنوب‌شرق به عنوان قسمتی از رشته کوههای آلپ-هیمالیا به طول ۲۰۰۰ کیلومتر گسترش دارد. حوضه زاگرس بین فلات ایران مرکزی در شمال شرق، سپر عربی در جنوب غرب و تورید

- ۱۰-۱۱ متر واریزه
۱۱-۱۲ متر وکستون تا پکستون خاکستری تا قهقهه‌ای
متوسط لایه دارای قطعات برآکیوپود،
گاستروپود، ساقه کرینوئید، فرامینی فرهای کوچک
Deckerella, *Paleotextularia* sp., *Hemigordius* sp.)
Permocalculus sp. و جلبک (*Multidiscus* sp. sp.
Tubiphytes sp., *Gymnocodium* sp.
۱۲-۱۳ متر واریزه.
۱۳-۱۴ متر پکستون قهقهه‌ای کمرنگ متوسط لایه حاوی
مرجان، فرامینی فرهای کوچک (*Geinitzina* sp.)
Deckerella, *Climacammina* sp., *Paleotextularis* sp.
. *Permocalculus* sp., *Vermiporella* sp.) و جلبک (*sp.*
۱۴-۱۵ متر وکستون-پکستون خاکستری کمرنگ
متوسط لایه حاوی قطعات ساقه کرینوئید، برآکیوپود،
فرامینی فرهای کوچک (*Geinitzina* sp.),
Pachyphloia cucurkoyi, *Paleotextularia* sp. sp.
Shubertella rara (Civrieux and Dess.
(*Climacammina* sp., *Dunbarula* sp., Sheng
. *Vermiporella* sp.)
- ۱۰-۱۰ متر ماسه‌سنگ کوارتزی قهقهه‌ای مایل به نارنجی
متوسط لایه با دانه‌بندی متوسط تا ریز.
۶-۲ متر گرینستون خاکستری روشن ضخیم لایه حاوی
قطعات ساقه کرینوئید، برآکیوپود، فوزولینید (Staffella sp.) و جلبک (*Vermiporella nipponica*) و تعدادی
دانه‌های کوارتز.
۷-۴ متر مادستون تا وکستون خاکستری تیره متوسط
لایه با تعداد معدودی خردکهای فسیلی.
۸-۰/۵ متر پکستون خاکستری متمایل به قهقهه‌ای
متوسط لایه حاوی قطعات بریوزوئر، برآکیوپود و ساقه
کرینوئید.
۹-۲/۵ متر دولومیت قهقهه‌ای روشن متوسط لایه.
۱۰-۲/۵ متر پکستون-گرینستون خاکستری روشن
نازک تا متوسط لایه حاوی قطعات کرینوئید، برآکیوپود،
استراکد، گاستروپود، فوزولینید (Schubertella sp.),
Dunbarula, *Staffella* sp., *Nankinella* sp.,
(schubertelliformis Sheng
Hemigordius sp., *Geinitzina* sp., *Neoendothyra* sp.
و جلبک (*sp.*) و *Gymnocodium* sp., *Tubiphytes* sp.)



شکل ۱. نقشه نشان دهنده موقعیت زمین‌شناسی منطقه مورد مطالعه.

Preaskinerella perviflucta-Chusenella? فوزولینیدی pseudocompacta اساس موقعیت چینه‌شناسی این زون که در زیر زون Eopolydiexodina به سن مورگابین قرار می‌گیرد لایه‌های حاوی این زون کوبرگندین در نظر گرفته شده است [۲ و ۱۵]. در مقطع چالیشه همان‌طوری که اشاره شد نبود فوزولینیدهای شاخص کوبرگندین امکان نسبت دادن قسمت قاعده‌ای سازند دالان را به کوبرگندین مشکل می‌سازد. با توجه به فونای فرامینی فری موجود به نظر می‌رسد سن بخش قاعده‌ای سازند دالان در مقطع چالیشه جوان‌تر از مقطع ایل‌بیک باشد. برای رفع این ابهام برسی کنودونت‌های موجود در این بخش شاید در تعیین سن دقیق‌تر موثر باشد. سن آن بخش از سازند دالان در مقطع چالیشه که در این مطالعه قابل نمونه‌برداری بوده با توجه به محتویات فرامینی فری آن مورگابین-میدین زیرین؟ در نظر گرفته می‌شود.

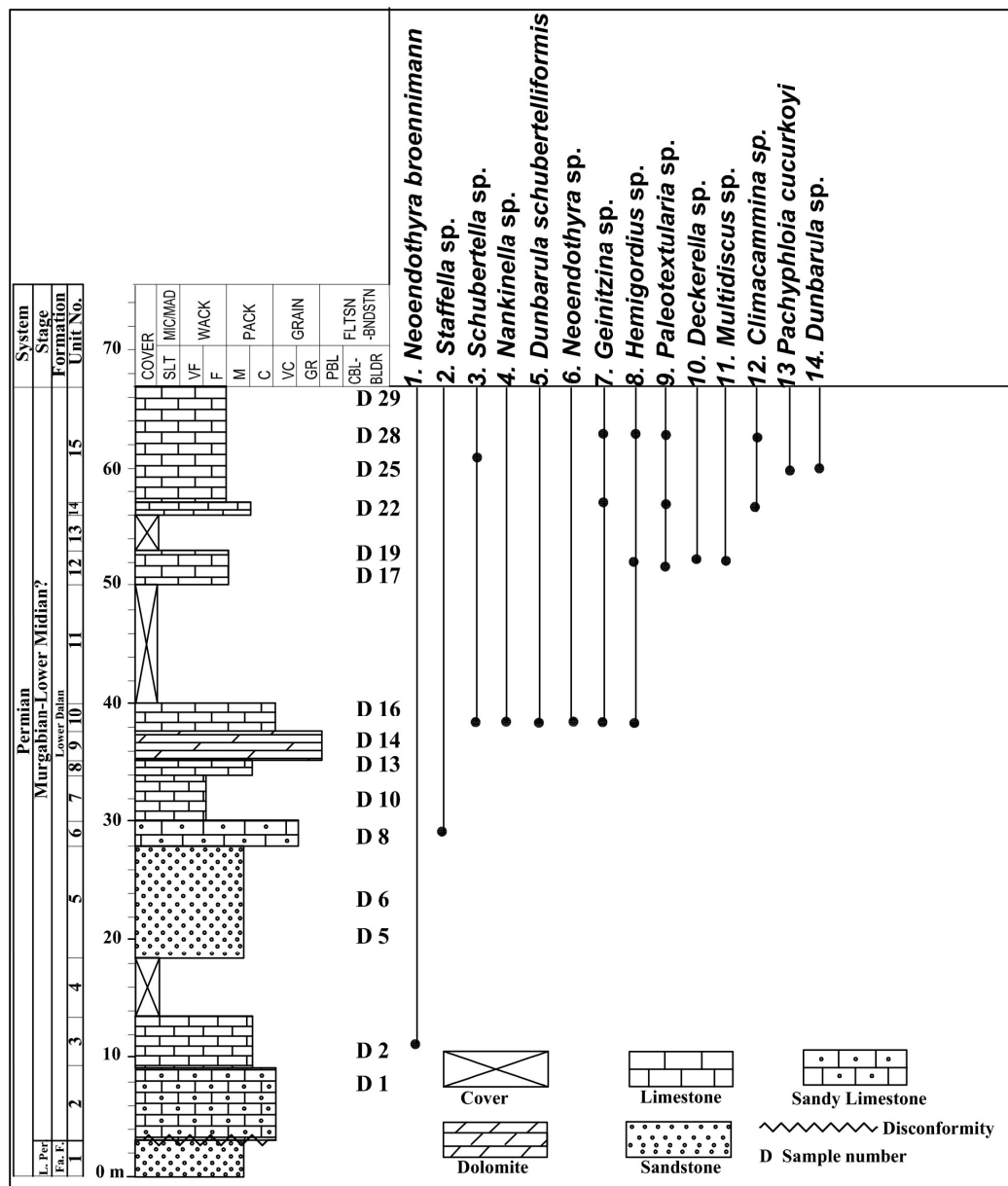
سن بخش قاعده‌ای دالان زیرین در زاگرس چین خورده و زاگرس مرتفع
زاو و خردپیر [۳۸] در بخش دالان زیرین در کوه سورمه (زاگرس چین خورده) میکروفسیلهای فرامینی فر Pachyphloia sp., Afghanella sp., Schwageina sp., Archaediscus sp., Globivalvulina sp., Cribrogenerina sp., sp. مورگابین-میدین را برای آن در نظر گرفتند. مطالعه بعدی همین مقطع منجر به شناسایی فرم‌های فرامینی فر Schubertella sp., Chusenella sp., Climacammina sp., Cribrogenerina sumatrana (Volz), Globivalvulina sp., Agathammina sp., sp., Dagmarita vonderschmitti Reichel شود. حضور مورگابین-میدین برای آن پیشنهاد گردید [۲۲ و ۳]. بر اساس مطالعات واچارد و همکاران [۳۱] و آلینر و همکاران [۹] وجود رسوبات به سن میدین در ناحیه کوه سورمه با Dunbarula sp., Shanita Chusenella و chanackchiensis Reitlinger شود. حضور Eopolydiexodina sp. در مقطع دیگری در کوه سورمه حاکی از وجود چینه‌های به سن مورگابین در قاعده سازند دالان است [۲۱ و ۳۵]. باغبانی [۱۱] در پایین‌ترین بخش سازند دالان در مناطق زاگرس

تجزیه و تحلیل مجموعه فرامینی فری در بخش زیرین سازند دالان در مقطع چالیشه
بهترین و معمول‌ترین فرامینی‌فرهای بنتیک برای بایوستراتیگرافی در سری‌های پالئوزوئیک فوزولینیدها به ویژه فوزولینیدهای بزرگ هستند. فرامینی‌فرهای موجود در آهک‌های قاعده‌ای سازند دالان از نظر تنوع و تعداد بسیار محدود می‌باشند. این فرامینی‌فرها عمدتاً شامل: Schubertella, Dunbarula schubertelliformis Sheng, Neoendothyra broennimann rara Sheng, Pchyphloia Cukurkoyi Civrieux and Bozorgnia Hemigordius sp., Multidiscus sp., Dess., Climacammina sp., Staffella sp., Nankinella sp., Paleotextularia sp. است. ترکیب فونای فوق امکان تعیین سن دقیق و مطمئن را میسر نمی‌کند. بدون شک این مجموعه نمی‌تواند قدیمی‌تر از گوادالوپین باشد. Neoendothyra broennimann Bozorgnia sp. از رسوبات به سن کوبرگندین تا میدین بخش کربناته زیرین سازند دالان در مقطع ایل‌بیک [۲]، در بخش بالای سازند روتۀ به سن مورگابین پسین-میدین آغازی [۱۴، ۱۹، ۱۶ و ۳۰] و Schubertella rara Sheng از رسوبات به سن مورگابین پسین-میدین آغازی بخش کربناته زیرین مقطع ایل‌بیک، زردکوه بختیاری، و از سازندهای داوالی به سن بلورین-کوبرگندین آغازی و بخش زیرین سازند آسنسی به سن کوبرگندین هر دو از منطقه مأواه قفقاز گزارش شده‌اند.

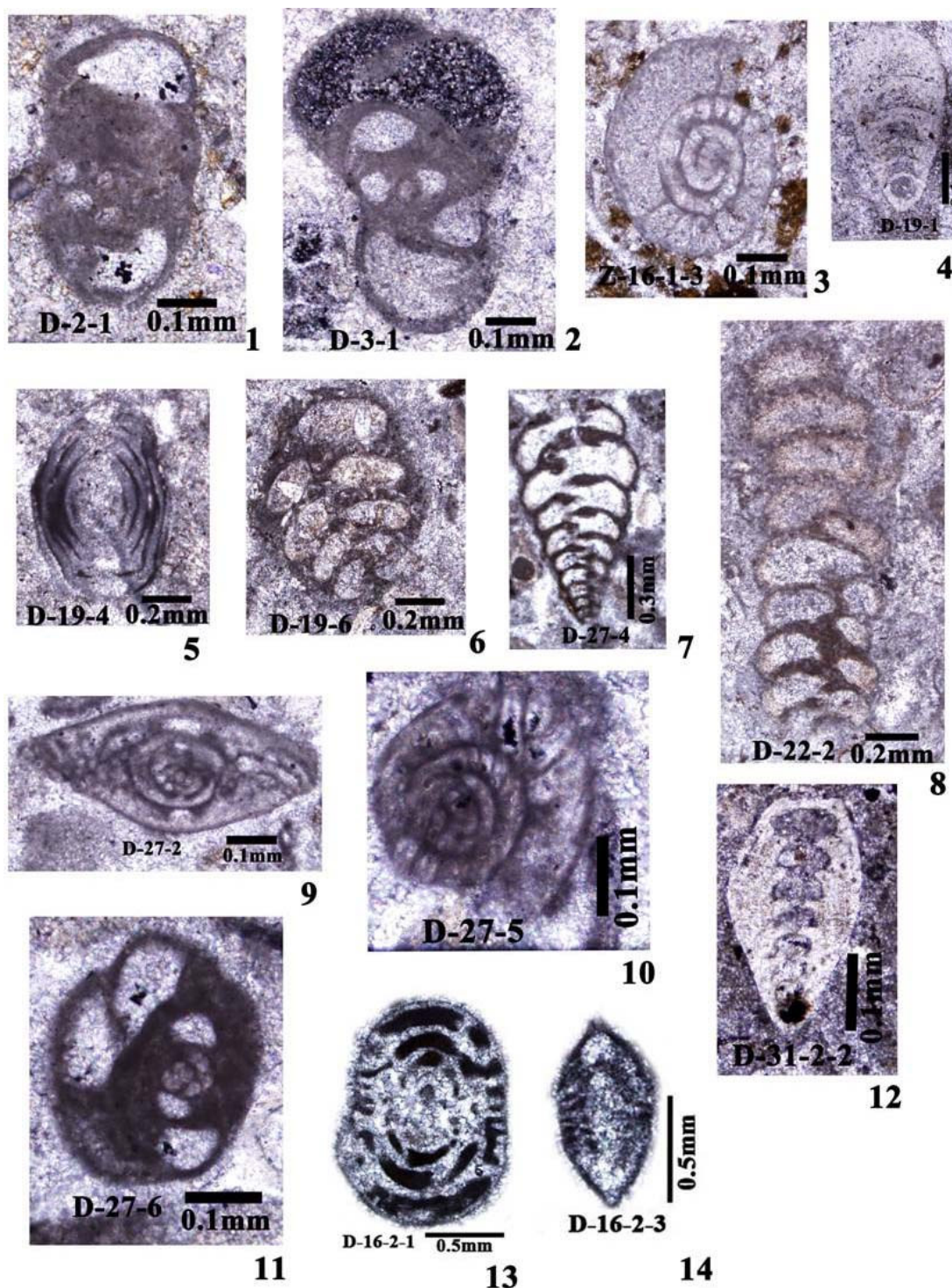
Pachyphloia cukurkoyi Civrieux and Dess. رسوبات مورگابین سازند روتۀ در البرز شناسایی شده است [۱۴]. Paleotextularia sp., Dunbarula sp. در سازند همراه با Parafusulina nakamiyawai zone در سازند ایزورا در ناحیه کوزو در ژاپن مشاهده شده است [۲۷]. Dunbarula schubertelliformis Sheng از زون Parafusulina tochigiensis در سازند نابیاما در ژاپن مرکزی به سن مورگابین [۲۷] و همچنین از رسوبات مورگابین ناحیه ایتسوکایچی- اوما در غرب توکیو [۲۶]، سنگ آهک‌های مانوکو از ایالت چینقای به سن مورگابین در شمال‌غرب چین گزارش شده است [۳۶]. مجموعه فرامینی فری بخش زیرین سازند دالان در مقطع ایل‌بیک با فوزولینیدهای شاخص کوبرگندین تا میدین گزارش شده است در این مقطع با توجه به حضور زون

Eopolydiexodina persica می‌گیرد. در مقطع انتخاب شده برای این مطالعه نیز میکروفسیل‌های شاخص کوبرگندین حضور ندارند. تایید قطعی حضور یا عدم حضور فسیل‌های شاخص کوبرگندین در قاعده دالان زیرین در سایر مقاطع رخنمونی آن در زاگرس مرتفع و زاگرس چین خورده بجزء مقطع ایل‌بیک مستلزم مطالعات دقیق‌تر فسیلی است. در حال حاضر با توجه به اطلاعات موجود به نظر می‌رسد که شروع پیشروی دریای پرمین در همه مقاطع رخنمونی سازند دالان به صورت همزمان نبوده است و یک اختلاف زمانی در قاعده سازند دالان در مناطق مختلف زاگرس مشاهده می‌شود.

چین خورده (کوه سورمه) و زاگرس مرتفع (کوه دنا، اشتران کوه و قالی‌کوه) بایوزون Neoendothyra را در بخش قاعده‌ای دالان زیرین معرفی و سن کوبرگندین می‌انی - بالایی را برای آن در نظر گرفته است. Neoendothyra یک جنس شاخص کوبرگندین نیست و عمدها همراه با فوزولینیدها و فرامینی‌فرهای کوچک [۲۷ و ۲۸] (شکل ۲). مطالعه اخیر توسط عارفی‌فرد [۲] در مقطع Preaskinerella ایل‌بیک در زاگرس مرتفع زون pseudocompacta قاعده دالان زیرین شناسایی و سن کوبرگندین را برای آن پیشنهاد نموده است (شکل ۳). در بالای این زون



شکل ۲. نمایش ستون چینه‌شناسی و انتشار چینه‌شناسی فوزولینیدها و فرامینی‌فرهای کوچک در بخش قاعده‌ای سازند دالان در مقطع چالیشه.



پلیت ۱

شکل ۱-۱. Neoendothyra broennimann Bozorgnia. مقطع چالیشه، سازند دلان، نمونه D2-1. مقیاس افقی ۰/۱ میلی‌متر، بزرگنمایی ۱۲۰ برابر.

شکل ۱-۲ و ۱-۱۱. Neoendothyra sp. مقطع چالیشه، سازند دلان، نمونه های D3-1 و D6-27-6. مقیاس افقی ۰/۱ میلی‌متر، بزرگنمایی ۱۰۰ برابر.

- شکل ۳. شکل ۳-۳. Dunbarula schubertelliformis Sheng. مقطع چالیشه، سازند دالان، نمونه ۳-۱-۱۶. مقیاس افقی ۰/۰ میلی‌متر، بزرگنمایی ۱۰۰ برابر.
- شکل ۳-۴. Geinitzina sp. مقطع چالیشه، سازند دالان، نمونه ۱-۱۹-۱۶. مقیاس افقی ۰/۰ میلی‌متر، بزرگنمایی ۱۰۰ برابر.
- شکل ۳-۵. Multidiscus sp. مقطع چالیشه، سازند دالان، نمونه ۴-۱۹-۱۶. مقیاس افقی ۰/۰ میلی‌متر، بزرگنمایی ۵۰ برابر.
- شکل ۳-۶ و ۳-۷. Paleotextularia sp. مقطع چالیشه، سازند دالان، نمونه‌های ۶-۱۹-۱۶ (مقیاس افقی ۰/۰ میلی‌متر و بزرگنمایی ۵۰ برابر) و ۴-۲۷-۱۶ (مقیاس عمودی ۰/۳ میلی‌متر و بزرگنمایی ۳۳ برابر).
- شکل ۳-۸. Deckerella sp. مقطع چالیشه، سازند دالان، نمونه ۲-۲۲-۱۶. مقیاس افقی ۰/۰ میلی‌متر، بزرگنمایی ۵۰ برابر.
- شکل ۳-۹. Schubertell rara Sheng. مقطع چالیشه، سازند دالان، نمونه ۲-۲۷-۱۶. مقیاس افقی ۰/۰ میلی‌متر، بزرگنمایی ۱۰۰ برابر.
- شکل ۳-۱۰. Dunbarula sp. مقطع چالیشه، سازند دالان، نمونه ۵-۲۷-۱۶. مقیاس عمودی ۰/۰ میلی‌متر، بزرگنمایی ۱۰۰ برابر.
- شکل ۳-۱۲. Packyphloia cucurkoyi Civrieux and Dess. مقطع چالیشه، سازند دالان، نمونه ۲-۳۱-۱۶. مقیاس عمودی ۰/۰ میلی‌متر، بزرگنمایی ۱۵۰ برابر.
- شکل ۳-۱۳. Staffella sp. مقطع چالیشه، سازند دالان، نمونه ۱-۲-۱۶. مقیاس افقی ۰/۵ میلی‌متر، بزرگنمایی ۳۰ برابر.
- شکل ۳-۱۴. Nankinella sp. مقطع چالیشه، سازند دالان، نمونه ۳-۲-۱۶. مقیاس عمودی ۰/۵ میلی‌متر، بزرگنمایی ۴۰ برابر.

System/Period	Series/Epoch	Stage/Age	Il-e Beyk Section Zard Kuh	Kuh-e Surmeh Folded Zagros	Kuh-e Dena High Zagros	Chali Sheh Section
Permian	Murgabian		<i>Eopolydiexodina persica</i> Biozone	<i>Eopolydiexodina</i>	Plant Fossils ~~~~~ <i>Eopolydiexodina</i> <i>Everbeekina</i>	<i>Dunbarula schubertelliformis</i> <i>Neoendothyra broennimann</i>
	Guadalupian	Kuberganian	<i>Praeskinerella parviflucta-</i> <i>Chusenella? pseudocompacta</i> Biozone		<i>Neoendothyra</i>	

شکل ۳. نمایش مقایسه تعیین سن‌های متفاوت بخش قاعده‌ای سازند دالان در مقطع ایل‌بیک، زاگرس مرتفع [۱۵]، کوه سورمه، زاگرس چین خورده [۲۲]، کوه دنا، زاگرس مرتفع [۱۱] و مقطع انتخاب شده برای این مطالعه.

۲- با توجه به حضور فوزولینیدهای به سن کوبرنگنین در بخش قاعده‌ای سازند دالان در مقطع ایل‌بیک و عدم حضور آن‌ها در مقطع چالیشه به نظر می‌رسد که پیش روی دریای پرمنین در مقطع چالیشه در مقایسه با مقطع ایل‌بیک کمی با تأخیر شروع شده است و احتمالاً نبود رسویگذاری وسیع‌تری در قاعده سازند دالان در مقطع چالیشه وجود دارد.

نتیجه‌گیری

۱- سن بخش قاعده‌ای سازند دالان در مقطع چالیشه بر اساس محتویات میکروفسیل‌های فرامینی فرسنی جدیدتر از گوادالوپین و به طور اخص مورگابین-میدین زیرین؟ نشان نمی‌دهد. تنوع و تعداد فونتای فوزولینید و فرامینی فرهای کوچک در مقایسه با بخش قاعده‌ای سازند دالان در مقطع ایل‌بیک بسیار کمتر می‌باشد.

- some preliminary results of current study, Fourth French Congress on Stratigraphy, Paris.
- [11] Baghbani, D (1997) Correlation charts of selected Permian strata from Iran. *Permophiles*, (30), 24-25.
- [12] Bahroudi, A., and Talbot, C.J (2003) The configuration of the basement beneath the Zagros basin, *Journal of Petroleum Geology*, 26, (3), 257-282.
- [13] Berberian, M., and King, G.C.P (1981) Toward a paleogeography and tectonic evolution of Iran. *Can. Jour. Earth Sci.*, 18, 210-285.
- [14] Bozorgnia F (1973) Paleozoic Foraminiferal Biostratigraphy of Central and East Alborz Mountains, National Iranian Oil Company Publication, Report NO. 4, 185 p.
- [15] Davydov and Arefifard (2013) Middle Permian (Guadalupian) fusulinid taxonomy and biostratigraphy of the mid-latitude Dalan Basin, Zagros, Iran and their applications in paleoclimate dynamics and paleogeography, *GeoArabia*, 18, (2) , p. 17-62.
- [16] Gaetani, M., Angiolini, L., Ueno, K., Nicora, A., Stephenson, M.H., Sciunnach, D., Rettori, R., Price, G.D., and Sabouri, J (2009) Pennsylvanian-Early Triassic stratigraphy in the Alborz Mountains (Iran)., Brunet, M.F., Wilmsen, M., and Granath, J.W. (Eds.), In: South Caspian to Central Iran Basins Spec. Publ. Geol.Soc. London, 312, 79-128.
- [17] Ghavidel-Syooki, M (1993) Palynological study of Paleozoic sediments of the Chal-I-Sheh area southwestern Iran. *Journal of Sciences*, 4, (1), 32-46.
- [18] Ghavidel-Syooki, M (1997) Acritarch biostratigraphy of the Paleozoic rock units in the Zagros Basin, southern Iran. *Acta Univ. Carolinae Geol.*, 4, 385-411.
- [19] Hamdi, B., Sadeghi, A., Kohansal, E., Shafiee Ardestani, M., Balmaki, B (2009) Biostratigraphy of the Ruteh Formation at Harijan section (Central Alborz) northern Iran using foraminifera and conodont. *Nature Precedings*, 8 p.
- [20] Harrison, J. V., Taitt, A. H., and Falcon, N. L (1932) The geology of Bakhtiari mountain country: Unpublished report, Iranian Oil Operating Companies.
- [21] Insalaco, E., Virgone, A., Courme, B., Gaillot, J., Kamali, M., Moallemi, A., Lotfpour, M., and Monibi, S (2006) Upper Dalan Member and Kangan Formation between the Zagros Mountains and offshore Fars, Iran, depositional system, biostratigraphy and stratigraphic architecture. *GeoArabia*, . 11, (2), 75-176.
- ۳- بر اساس داده‌های میکروفسیلی در مقطع مطالعه شده و مقایسه آن با سایر مقاطع سازند دالان در زاگرس چین‌خورده و زاگرس مرتفع احتمال اختلاف زمانی در شروع رسوبگذاری سازند دالان در مقاطع مختلف وجود دارد که بررسی‌های میکروفسیل‌های کنودونت نیز در آهک‌های قاعده‌ای سازند دالان در مقاطع رخنمونی آن به عنوان داده‌های مکمل برای تقویت این ایده مفید می‌باشد.

منابع

- [۱] عارفی‌فرد، س (۱۳۷۶) بررسی میکرواستراتیگرافی و میکروپالئوتولوژی سازندهای درود و روته در البرز مرکزی، پایان‌نامه کارشناسی ارشد، دانشگاه شهید بهشتی، ۱۵۵ صفحه.
- [۲] عارفی‌فرد، س (۱۳۹۰) بررسی تاکسونومیک گونه‌های جدید شناسایی شده سازند دالان در مقطع زردکوه بختیاری، طرح پژوهشی، دانشگاه لرستان.
- [۳] لطف‌پور، م.، آدابی، م. ح.، صادقی، ع.، معلمی، ع (۱۳۸۴) بررسی محیط‌های رسوبی و چینه‌شناسی سکانسی سازند دالان در ناحیه زاگرس (در نواحی کوه دنا و کوه سرمه)، جلد ۳۱، شماره ۱، ۲۲۸-۱۹۹.
- [۴] Alavi, M (1980) Tectonostratigraphic evolution of the Zagroside of Iran. *Geology*, 8, 144-149.
- [۵] Alavi, M (1994) Tectonics of the Zagros orogenic belt of Iran: new data and interpretations. *Tectonophysics*, 229, 211-238.
- [۶] Alavi, M (2004) Regional stratigraphy of the Zagros fold-thrust belt of Iran and its proorland evolution. *American Journal of Science*, 304, 1-20.
- [۷] Alavi, M (2007) Structures of the Zagros fold-thrust belt in Iran. *American Journal of Science*, 307, 1064-1095.
- [۸] Alsharhan, A. S., and Nairn, A. E. M (1997) Sedimentary Basins and Petroleum Geology of the Middle East: Amsterdam, Elsevier, 843 p.
- [۹] Altiner, D., Ozkan-Altiner, S., and Koçyigit, A (2000) Late Permian foraminiferal biofacies belts in Turkey: palaeogeographic and tectonic implications. In: Bozkurt, E., Winchester, J.A., and Piper, J.D.A. (Eds.), *Tectonics and Magmatism in Turkey and the Surrounding Area*. Geological Society of London, Special Publication, 173, 83-96.
- [۱۰] Arefifard, S., and Davydov, V.I (2010) Upper Paleozoic Faraghan and Dalan formations of Zagros area: summary on biostratigraphy and chronostratigraphy and

- [34] Seward, A.C (1932) A Persian Sigilaria. Philosophical transaction of Royal Society of London, Series 3, (221), B 749.
- [35] Sharland, P.R., Archer, R., Casey, D.M., Davies, R.B., Hall, S.H., Heward, A.P., Horbury, A.D., and Simmons, M.D (2001) Arabian Plate Sequence Stratigraphy. GeoArabia Special Publication, 2, 371 pp.
- [36] Sheng, J.C (1958) Some fusulinids from the Maokou Limestone of Chinghai Province, northwestern China. *Acta Palaeontologica Sinica*, 6, 268-291 (in Chinese and English).
- [37] Szabo, F (1977) Permian and Triassic stratigraphy of Fars area, southwest Iran. 2nd Iranian Geological Symposium, Iranian Petroleum Institute, Tehran, 308-341.
- [38] Szabo, F., and Kheradpir, A (1978) Permian and Triassic stratigraphy, Zagros Basin, South-West Iran. *Journal of Petroleum Geology*, 1, 2, 57-82.
- [39] Zamanzadeh, S.M., Amini, A., and Kamali, M.R (2009) Burial history reconstruction using late diagenetic products in the early Permian siliciclastics of the faraghan Formation, southern Zagros, Iran. *Journal of Petroleum Geology*, 32, 2, 171-192.
- [22] Johnson, B (1981) Microfaunal biostratigraphy of the Dalan Formation (Permian) Zagros basin, South-West Iran. *Microfossil from Recent and Fossil Shelf Seas Journal*, 52-60.
- [23] Kashfi, M (1976) Plate tectonics and structural evolution of the Zagros geosyncline, southwestern Iran, *Geological Society of America Bulletin*, 87, 1486-1490.
- [24] Kashfi, M.S (1992) Geology of the Permian 'supergiant' gas reservoirs in the greater Persian Gulf area. *Journal of Petroleum Geology*, 15, 465-480.
- [25] Kashfi, M.S (2000) The greater Persian Gulf Permian - Triassic stratigraphic nomenclature requires study. *Oil and Gas Journal*, 36-44.
- [26] Kobayashi, F (2005) Permian foraminifers from the Itsukaichi-Ome area, west Tokyo, Japan. *J. Paleont.*, 79, 3, 413-432.
- [27] Kobayashi, F (2006) Middle Permian foraminifers of the Izuru and Nabeyama Formations in the Kuzu area, Tochigi Prefecture, Japan; Part 1, Schwagerinid, neoschwagerinid, and verbeekinid fusulinoideans. *Paleontological Research*, 10, 1, 37-59.
- [28] Leven, E.J (1997) Permian stratigraphy and Fusulinida of Afghanistan with their paleogeographic and paleotectonic implications. *Geological Society of America, Special Paper*, 316, 1-133.
- [29] Leven, E.J., and Grant-Mackie, J.A (1997) Permian fusulinid Foraminifera from Wherowhero Point, Orua Bay, Northland, New Zealand, *New Zealand Journal of Geology and Geophysics*, 40, 473-486.
- [30] Mahdavi, M., and Vaziri, S.H (2010) Lithostratigraphy and Microbiostratigraphy of the Ruteh Formation in Northwest of Khur, Central Alborz, Iran. *Journal of Sciences, Islamic Republic of Iran*, 21, 3, 237-250.
- [31] Vachard, D., Hauser, M., Martini, R., Zaninetti, L., Matter, A., and Peters, T (2002) Middle Permian (Midian) foraminiferal assemblages from the Batain plain (eastern Oman): their significance to Neotethyan paleogeography. *Journal of Foraminiferal Research*, 32, 2, 155-172.
- [32] Sampo, M (1969) Microfacies and microfossils of the Zagros area southwestern Iran (from Pre-Permian to Miocene), *International Sedimentary Petrographical, Series-XII*, 41 pp.
- [33] Setudehnia, A (1973) The Paleozoic sequence at Zard Kuh and Kuh-e Dinar. *Bulletin of Iranian Petroleum Institute*, 60, 16-33.